

УДК 539.375

© 1995 г. Г. А. ВАНИН

ГРАДИЕНТНАЯ ТЕОРИЯ СДВИГА
МНОГОУРОВНЕВЫХ КОМПОЗИТОВ

Соединение множества элементов, находящихся на различных масштабных уровнях, образует многоуровневую среду. В синтетических композитах нити или жгуты, состоящие из тысяч волокон, образуют один масштабный уровень, отдельные волокна — другой, макрофибриллы или другие надмолекулярные образования в волокнах или матрице — третий и т. д. В блокомпозитах, например, в мышечных тканях насчитывают четыре уровня, в сухожилиях — шесть. Механика синтеза многоуровневых материалов с заданными свойствами включает задачу о прогнозе из свойств по характеристикам компонентов с учетом взаимодействия элементов при высоких градиентах внутренних полей. В прошлом попытки создания моментной теории упругости, учитывающей влияние градиентов поля напряжений, не привели к определенным результатам [1—4].

Ниже предлагается моментная теория сдвига волокнистых сред, основанная на новом принципе усреднения полей.

1. Внутреннее поле напряжений в матрице при продольном сдвиге и нецентральном взаимодействии элемента композита с окружающей средой ищем в виде суммы активной и рассеянной составляющих. Первую представим в виде

$$\tau_{ik} = \exp(x\nabla_2 + y\nabla_3) \tau_{ik} \quad (k = 2, 3) \quad (1.1)$$

где производные определяются в центре элемента, x, y — локальные координаты, $\nabla_2 = \partial/\partial x$, $\nabla_3 = \partial/\partial y$.

Рассеянная составляющая представляет собой суперпозицию локальных полей, убывающих от центра волокна. Деформированное состояние компонентов композита определяем коэффициентами разложения продольного смещения u в степенной ряд

$$u = \exp(x\nabla_2 + y\nabla_3) u \quad (1.2)$$

В локальной системе координат вводим разрешающие функции для отдельного волокна ψ_a и прилегающей к нему матрицы ψ

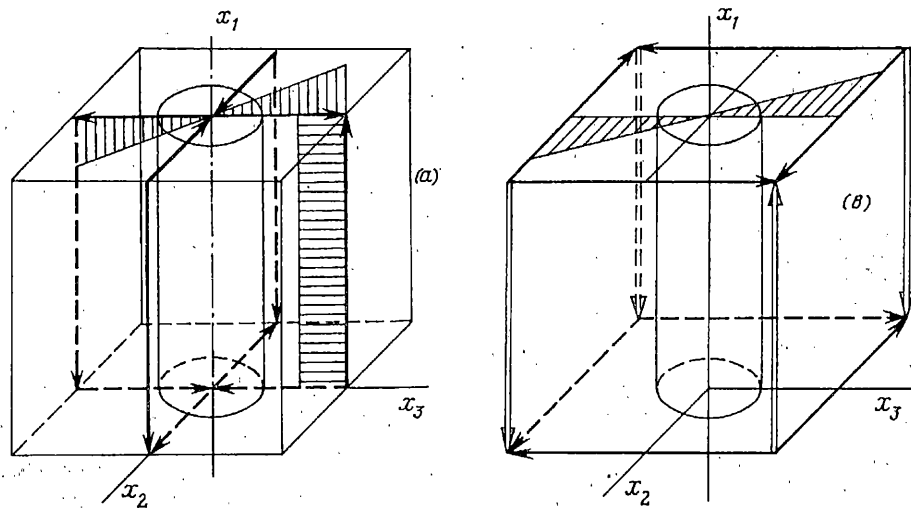
$$\psi = u + \varphi(z, \bar{z}), \quad \operatorname{Re} \varphi = 0, \quad \tau_{12} - i\tau_{13} = 2G\partial\psi/\partial z$$

$$z = x + iy, \quad u = \Phi(z) + \overline{\Phi(z)}, \quad \Phi(z) = \sum_m \left(A_m z^m + \frac{D_m}{z^m} \right) \quad (1.3)$$

$$\varphi(z, \bar{z}) = \sum_{m,s} (F_{ms} z^m \bar{z}^s + Q_{ms} \bar{z}^m z^s)$$

Аналогичные разложения, регулярные в центре волокна, строятся для ψ_a . Коэффициенты разложения функций согласуются с (1.1), удовлетворяют соотношениям совершенного контакта волокно-матрица и приближенным условиям взаимодействия между волокнами [5]. Деформации моментных состояний выразим через кривизны κ_{ik} и их производные

$$\kappa_{ik} = \frac{1}{2} \varepsilon_k \delta^2 u / (\partial x_i \partial x_k), \quad \kappa_{ik}^{sn} = \partial^{s+n} \kappa_{ik} / (\partial x^s \partial y^n) \quad (1.4)$$



Фиг. 1

$$x_2 = x, \quad x_3 = y, \quad \varepsilon_2 = -1, \quad \varepsilon_3 = 1 \quad (i, k = 2, 3)$$

Усредненные по элементу композиционной среды смещения выразим через эффективные кривизны и их производные в виде разложения

$$u = u_0 + x_k \hat{\gamma}_{ik} - x^2 \hat{\chi}_{22} + \dots, \quad \hat{\gamma}_{ik} = \partial \hat{u} / \partial x_k$$

Здесь и везде в дальнейшем усредненные величины отмечаются угловой скобкой над буквами. Для определения усредненных параметров вводится принцип усреднения высокоградиентных полей в композитах, согласно которому

$$\hat{\tau}_{ik} \hat{\gamma}_{ik} + \sum_{n, i, k} \left(\frac{\partial}{\partial x} + \frac{\partial}{\partial y} \right)^{(n)} \hat{m}_{ik} \hat{\chi}_{ik} = \frac{1}{F} \oint_L u (\tau_{12} dy - \tau_{13} dx) \quad (1.5)$$

где \hat{m}_{ik} — усредненные моменты, сопряженные кривизнам $\hat{\chi}_{ik}$, L и F — граничный контур и площадь выделенного элемента, производные вычисляются по правилу $(\partial / \partial x + \partial / \partial y)^{(n)} \hat{m}_{ik} \hat{\chi}_{ik} = \hat{m}_{ik} \hat{\chi}_{ik} + \hat{m}_{ik}^{(0)} \hat{\chi}_{ik}^{(0)}$ ($i, k = 2, 3; n = 0, 1, \dots, N$)

где N — предельный показатель степени градиента. Решение задачи о продольном сдвиге линейно-армированного композита построено для гексагональной структуры при приближенной замене контура L^L круговым цилиндром и условии идеального контакта изотропных волокон и матрицы [5] $u^+ = u^-$, $\tau_{1n}^+ = \tau_{1n}^-$, $\tau_{1n} = \tau_{1k} n_k$, $n_2 = \cos \theta$, $n_3 = \sin \theta$.

Активные составляющие напряжений, соответствующие первым членам разложения (1.1) и расположения локальной системы координат в отдельной ячейке среды представлены на фиг. 1, а, в. Усредненная компонента моментных состояний согласно принципу (1.5), находим определяющие соотношения

$$\hat{m}_{ik}^{sn} = 4G_{12} \mu_p \hat{\chi}_{ik}^{sn} \quad (p = s + n + 1; s, n = 0, 1, \dots) \quad (1.6)$$

$$\mu_p = - \frac{iG_{12}^p}{G_{12}} [2Fp! (p+1)!]^{-1} \oint_L |z|^{2p} zdz \quad (1.7)$$

Здесь G_{12} — модуль продольного сдвига волокнистой среды с гексагональной упаковкой волокон, асимптотическая формула для которого [5] $G_{12} = G [1 + G/G_a + \zeta (1 - G/G_a)] [1 + G/G_a - \zeta (1 - G/G_a)]^{-1} + \dots$, где G и G_a — модули сдвига матрицы и волокон, ζ — объемное относительное содержание волокон в композите; G_{12}^p — новые упругие постоянные, характеризующие жест-

кость композита в моментных состояниях. Назовем их градиентными модулями продольного сдвига композита. Асимптотическое представление градиентных модулей для композита с гексанальной упаковкой будет

$$G_{12}^p \approx G [1 + G/G_a + \zeta^{p+1} (1 - G/G_a)] [1 + G/G_a - \zeta^{p+1} (1 - G/G_a)]^{-1} + \dots \quad (1.8)$$

Основные уравнения и краевые условия для среды первого уровня с учетом градиентных состояний устанавливаем с помощью обобщенного функционала

$$\begin{aligned} J = \int_F dF & \left[\hat{\tau}_{1k} \left(\hat{\gamma}_{1k} - \frac{\partial \hat{u}}{\partial x_k} \right) + \sum_{n, i, k} \left(\frac{\partial}{\partial x} + \frac{\partial}{\partial y} \right)^{(n)} \hat{m}_{ik} \left(\hat{x}_{ik} - \frac{\varepsilon_k}{2} \frac{\partial^2 \hat{u}}{\partial x_i \partial x_k} \right) - \right. \\ & - U(\hat{\gamma}_{1k}, \hat{x}_{ik}^{sn}) \Big] + \oint_L T_{1n} \hat{u} ds + \oint_L \hat{\tau}_{1k} n_k (\hat{u} - \hat{u}^*) ds + \\ & + \oint_L \left(M_n + \frac{1}{2\rho_n} M_s + \frac{1}{2\rho_s} M_{ns} \right) \hat{\gamma}_{1n} ds + \oint_L \left(M_s + \frac{1}{2\rho_s} M_n + \frac{1}{2\rho_n} M_{ns} \right) \hat{\gamma}_{1s} ds + \\ & + \sum_p \oint_L ds [(M_n^p + \dots) \hat{x}_{n}^{p-1} + (M_s^p + \dots) \hat{x}_s^{p-1} + (M_{ns}^p + \dots) \hat{x}_{ns}^{p-1} + \\ & + (M_{sn}^p + \dots) \hat{x}_{sn}^{p-1}] \end{aligned} \quad (1.9)$$

Здесь независимыми функциональными аргументами являются \hat{u} , $\hat{\gamma}_{1k}$, \hat{x}_{ik}^{sn} , \hat{x}_{ik}^{sn} . Явный вид представлений для краевых моментов в (1.9) выписан до третьего приближения, M_n^p , M_s^p и $M_{ns}^p = -M_{sn}^p$ — p -й нормальный, касательный и смешанный моменты, U — обобщенный потенциал, ρ_n , ρ_s — радиусы кривизны координатных кривых.

Составляя вариацию функционала (1.9) по независимым функциональным переменным и считая их произвольными, получим

$$\hat{\tau}_{1k} = \frac{\partial \hat{u}}{\partial x_k}, \quad \hat{x}_{ik}^{sn} = \frac{\partial^{s+n} \hat{x}_{ik}}{\partial x^s \partial y^n}, \quad \hat{\tau}_{1k} = \frac{\partial U}{\partial \hat{\gamma}_{1k}}, \quad C_p \hat{m}_{ik}^{sn} = \partial U / \partial \hat{x}_{ik}^{sn}, \quad \partial T_{1k} / \partial x_k = 0, \quad u = u^* \quad (1.10)$$

$$T_{12} = \tau_{12} + \frac{1}{2} \sum_n (-1)^n \left(\frac{\partial}{\partial x} + \frac{\partial}{\partial y} \right)^n \left(\frac{\partial \hat{m}_{22}}{\partial x} - \frac{\partial \hat{m}_{23}}{\partial y} \right)$$

$$T_{13} = \tau_{13} + \frac{1}{2} \sum_n (-1)^n \left(\frac{\partial}{\partial x} + \frac{\partial}{\partial y} \right)^n \left(\frac{\partial \hat{m}_{32}}{\partial x} - \frac{\partial \hat{m}_{33}}{\partial y} \right)$$

$$M_n = -\frac{1}{2} \sum_n (-1)^n \left(\frac{\partial}{\partial x} + \frac{\partial}{\partial y} \right)^n [\hat{m}_{22} \cos^2 \theta - \hat{m}_{33} \sin^2 \theta + \frac{1}{2} (\hat{m}_{32} - \hat{m}_{23}) \sin 2\theta]$$

$$M_s = -\frac{1}{2} \sum_n (-1)^n \left(\frac{\partial}{\partial x} + \frac{\partial}{\partial y} \right)^n [\hat{m}_{32} \cos^2 \theta + \hat{m}_{23} \sin^2 \theta - \frac{1}{2} (\hat{m}_{22} + \hat{m}_{33}) \sin 2\theta]$$

$$M_{ns}^1 = m_{22}^1 \cos^3 \theta + (m_{22}^0 - m_{23}^1 + m_{32}^1) \cos^2 \theta \sin \theta - (m_{33}^1 + m_{23}^0 - m_{32}^0) \cos \theta \sin^2 \theta - m_{33}^0 \sin^3 \theta$$

$$M_s^1 = m_{33}^1 \cos^3 \theta + (m_{33}^0 - m_{23}^1 + m_{32}^1) \cos^2 \theta \sin \theta - (m_{22}^1 + m_{23}^0 - m_{32}^0) \cos \theta \sin^2 \theta - m_{22}^0 \sin^3 \theta$$

$$M_{ns}^1 = (m_{22}^1 + m_{33}^1) \cos^2 \theta \sin \theta + (m_{22}^0 + m_{33}^0) \cos \theta \sin^2 \theta + \frac{1}{2} (m_{23}^1 - m_{32}^1) \cos 2\theta \cos \theta + \frac{1}{2} (m_{23}^0 - m_{32}^0) \cos 2\theta \sin \theta$$

Используя уравнения равновесия и определяющие соотношения (1.6), получим уравнение для разрешающей функции

$$\nabla^2 (1 - \mu_1 \nabla^2 + \mu^2 \nabla^4 - \mu_3 \nabla^6 + \dots) u = 0 \quad (1.11)$$

Усилия и моменты (1.10) выразим через разрешающую функцию

$$\left. \begin{aligned} T_{1k} &= G_{12} \frac{\partial}{\partial x_k} \sum_n (-1)^n \mu_n \nabla^{2n} u, & T_{1n} &= T_{1k} n_k = G_{12} \frac{\partial}{\partial n} \sum_n (-1)^n \mu_n \nabla^{2n} u \\ M_n &= \partial^2 / \partial n^2 \\ M_s &= \partial^2 / (\partial s \partial n) - \rho_n^{-1} \partial / \partial s \end{aligned} \right\} G_{12} \sum_n (-1)^n \mu_{1+n} \nabla^{2n} u$$

$$\left. \begin{aligned} M_n^1 &= -\partial^3 / \partial n^3 \\ M_s^1 &= \partial^3 / (\partial s^2 \partial n) \\ M_{ns}^1 &= \partial^3 / (\partial s \partial n^2) \end{aligned} \right\} 2G_{12} \mu_2 u + \dots$$

Естественные краевые условия сформулированы на случай совершенного контакта двух сред и свободного края. В принятом приближении для первого случая установлены соотношения

$$\begin{aligned} u^+ &= u^-, & T_{1n}^+ &= T_{1n}^-, & (M_n - \partial M_{ns}^1 / \partial s)^+ &= (M_n - \partial M_{ns}^1 / \partial s)^- \\ (M_s - \rho_n^{-1} M_{ns}^1)^+ &= (M_s - \rho_n^{-1} M_{ns}^1)^-, & (M_n^1)^+ &= (M_n^1)^-, & (M_s^1)^+ &= (M_s^1)^- \end{aligned} \quad (1.12)$$

для второго случая

$$\begin{aligned} T_{1n} &= \partial / \partial s (M_s - \rho_n^{-1} M_{ns}^1 - 1/2 \partial M_s^1 / \partial s) = 0 \\ M_n &\stackrel{+}{=} (2\rho_n)^{-1} M_s^1 - \partial M_{ns}^1 / \partial s = 0, \quad M_n^1 = 0 \end{aligned} \quad (1.13)$$

Знаком плюс (минус) отмечены предельные значения функции слева (справа) от граничной поверхности, $\partial / \partial n$ и $\partial / \partial s$ — производные по нормали и дуге граничного контура.

Приведенные краевые условия дополняются условиями затухания функции и при удалении от источника возмущения напряженного состояния

$$\lim u = 0, \quad x^2 + y^2 \rightarrow \infty \quad (1.14)$$

Из строения краевых условий следует, что учет каждого последующего члена уравнения (1.11) увеличивает на два число граничных уравнений совершенного контакта и уточняет граничные условия предыдущего приближения. Для свободного края число краевых соотношений возрастает на один. Приведенное соответствие между порядком основного уравнения (1.11), и число краевых условий позволяет, по крайней мере, для канонических областей строить решения определенного класса краевых задач.

Соотношения (1.10)–(1.14) определяют соотношение одноуровневой неоднородной среды с учетом возникающих градиентов поля в структуре. Решение уравнения (1.11) имеет вид

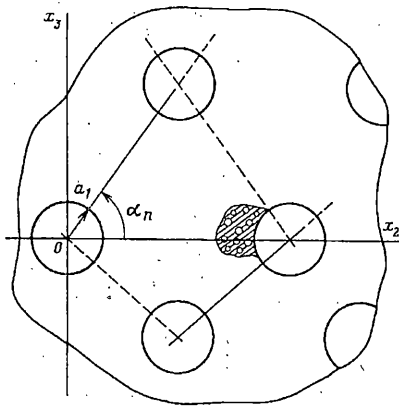
$$u = \Phi + \sum_j \psi_j, \quad \nabla^2 \Phi = 0, \quad \nabla^2 \psi_j - \kappa_j \psi_j = 0 \quad (1.15)$$

где κ_j — корни уравнения

$$1 - \mu_1 x + \mu_2 x^2 - \mu_3 x^3 + \dots = 0 \quad (1.16)$$

Функция Φ удовлетворяет уравнению классической теории продольного сдвига для тел с гексагональной структурой [5]. Моментное состояние, определенное функциями ψ_j , связано с классическим решением через краевые условия. Усилия и моменты будут

$$\left. \begin{aligned} T_{1n} &= G_{12} \partial \Phi / \partial n \\ M_n &= \partial^2 / \partial n^2 \\ M_s &= \partial^2 / (\partial s \partial n) - \rho_n^{-1} \partial / \partial s \end{aligned} \right\} G_{12} (\mu_1 \Phi + \sum_j \kappa_j^{-1} \psi_j) \quad (1.17)$$



Фиг. 2

$$\left. \begin{aligned} M_n^1 &= -\partial^3/\partial n^3 \\ M_s^1 &= \partial^3/(\partial s^2 \partial n) \\ M_{ns}^1 &= \partial^3/(\partial n^2 \partial s) \end{aligned} \right\} 2G_{12}\mu_2 (\Phi + \sum_j \psi_j)$$

2. Следующий, более низкий масштабный уровень среды, исследуется с помощью уравнений предыдущего масштабного уровня. Соотношение (1.1) заменяется аналогичными

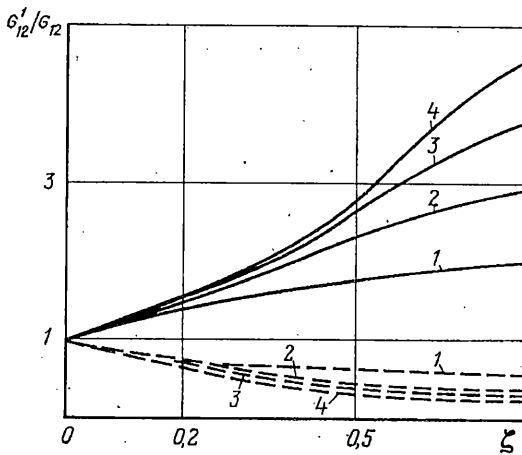
$$T_{1k} = \exp(x\nabla_2 + y\nabla_3) T_{1k} \quad (2.1)$$

если состояние среды на двух уровнях однотипно, x, y — локальные координаты второго масштабного уровня. Подобным способом преобразуются уравнения (1.2) и (1.4), соотношения усреднения для второго уровня имеют вид

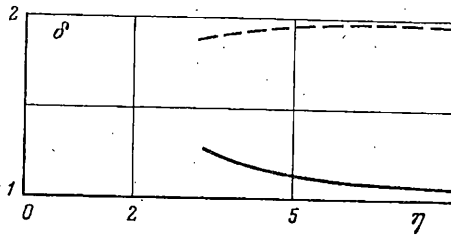
$$\begin{aligned} \hat{T}_{1k} \hat{\gamma}_{1k} + \sum_{n,i,k} \left(\frac{\partial}{\partial x} + \frac{\partial}{\partial y} \right)^{(n)} \hat{m}_{ik} \hat{x}_{ik} &= \frac{1}{F_1} \oint_{L_1} u \hat{T}_{1n} ds + \\ + \frac{1}{F_1} \oint_{L_1} \left[M_n + (2\rho_n)^{-1} M_s^1 - \frac{\partial M_{ns}^1}{\partial s} \right] \hat{\gamma}_{1n} ds + \frac{1}{F_1} \oint_{L_1} [M_s - \rho_n^{-1} M_{ns}^1 + \right. \\ \left. + (2\rho_s)^{-1} M_n^1 + \dots] \hat{\gamma}_{1s} ds + \frac{1}{F_1} \sum_p \oint_{L_1} [(M_n^p + \dots) \hat{x}_n^{p-1} + \right. \\ \left. + (M_s^p + \dots) \hat{x}_s^{p-1} + (M_{ns}^p + \dots) \hat{x}_{ns}^{p-1} + (M_{sn}^p + \dots) \hat{x}_{sn}^{p-1}] ds \end{aligned} \quad (2.2)$$

Здесь компоненты состояния, площадь F_1 и контур области L_1 соответствует второму масштабному уровню. Вывод уравнений равновесия и естественных краевых условий осуществляют с помощью обобщенного функционала для состояния на втором масштабном уровне, вид которого с точностью до обозначений согласуется с (1.9). Если структура среды и на 2-м уровне обладает гексагональной или тетрагональной симметрией, то уравнение для функции смещений на этом уровне согласуется с (1.11) при соответствующей замене параметров μ_n .

Для определенности рассмотрим состояние продольного сдвига и найдем эффективные характеристики двухуровневой пористой среды (фиг. 2), диаметры отверстий в которой находятся на различных масштабных уровнях и образуют гексагональную или тетрагональную упаковку на каждом уровне. Решение задачи строим с учетом двух первых моментов в (2.1) в асимптотическом приближении. Примеры и методы построения функции Φ для композиционных сред с учетом различной степени взаимодействия включений рассмотрены ранее [5]. Решения



Фиг. 3



Фиг. 4

уравнения Гельмгольца в цилиндрической системе координат r, θ ($x + iy = re^{i\theta}$) известны [6]. Для внутренней и внешней областей имеем соответственно

$$\psi_{ak} = \sum_{n=-\infty}^{\infty} B_{kn} e^{in\theta} J_n(r\sqrt{\chi_k}), \quad \psi_k = \sum_{n=-\infty}^{\infty} C_{kn} e^{in\theta} K_n(r\sqrt{\chi_k}) \quad (2.3)$$

где $J_n(r\sqrt{\chi_k}), K_n(r\sqrt{\chi_k})$ — цилиндрические функции Макдональда, причем последние удовлетворяют условию (1.14). Первые два корня (1.4) при объемном содержании пор первого масштабного уровня $\xi = 0,65$ будут вещественными

$$\chi_{1,2} = \mu_1 (2\mu_2)^{-1} [1 \pm (1 - 4\mu_2/\mu_1^2)^{1/2}]$$

Краевые условия в случае свободных от нагрузок контуров отверстий $r = a_i$ второго масштабного уровня (1.13) в цилиндрической системе координат будут

$$\begin{aligned} & \frac{\partial \Phi}{\partial r} - \mu_1 (r^{-2} \frac{\partial}{\partial r} - r^{-3}) \frac{\partial^2 \Phi}{\partial \theta^2} + \\ & + \mu_2 [r^{-4} \frac{\partial^3}{\partial r \partial \theta^2} + 2r^{-3} \frac{\partial^2}{\partial r^2} - 4r^{-4} \frac{\partial}{\partial r} + 4r^{-5}] \frac{\partial^2 \Phi}{\partial \theta^2} - \\ & - \sum_j \left[\frac{1}{\chi_j r^2} \frac{\partial}{\partial r} - \frac{1}{\chi_j r^3} - \mu_2 \left(\frac{1}{r^4} \frac{\partial^3}{\partial r \partial \theta^2} + \frac{2}{r^3} \frac{\partial^2}{\partial r^2} + \frac{4}{r^4} \frac{\partial}{\partial r} + \frac{4}{r^5} \right) \right] \frac{\partial^2 \psi_j}{\partial \theta^2} = 0 \\ & \mu_1 \frac{\partial^2 \Phi}{\partial r^2} + \mu_2 (5r^{-3} \frac{\partial}{\partial r} - 2r^{-2} \frac{\partial^2}{\partial r^2} - 4r^{-4}) \frac{\partial^2 \Phi}{\partial \theta^2} + \\ & + \sum_j \left[\frac{1}{\chi_j} \frac{\partial^2}{\partial r^2} + \mu_2 \left(\frac{5}{r^3} \frac{\partial}{\partial r} - \frac{2}{r^2} \frac{\partial^2}{\partial r^2} - \frac{4}{r^4} \right) \frac{\partial^2}{\partial \theta^2} \right] \psi_j = 0 \\ & \frac{\partial^3 \Phi}{\partial r^3} + \sum \frac{\partial^3 \psi_j}{\partial r^3} = 0 \end{aligned} \quad (2.4)$$

Число произвольных постоянных в решении уравнения (1.11) и порядок

производных в краевых условиях (2.4) в принятом приближении согласуются между собой. Концентрация усредненных тангенциальных напряжений на контурах второго масштабного уровня $r = a_1$ будет

$$\begin{aligned} T_{10} &= -\tau_{12} \sin \theta \{1 + [\beta_1(\alpha_2 - \gamma_2) - \beta_2(\alpha_1 - \gamma_1)] [\beta_1(\alpha_2 - \gamma_2) - \\ &\quad - \beta_2(\alpha_1 - \gamma_1) + \theta_0 + \omega_1 K_1(x_2) - \omega_2 K_1(x_1)]^{-1} + \dots\} \\ \beta_k &= (x_k^2 + 3) [x_k K_1'(x_k) - K_1(x_k)], \quad \gamma_k = (x_k^{-1} + 7\lambda_2 x_k) K_1'(x_k) \\ \theta_0 &= G [x_1^{-2} - x_2^{-2} + 2\lambda_2(x_1^2 - x_2^2)] K_1(x_1) K_1(x_2) \end{aligned} \quad (2.5)$$

Здесь опущены члены, влияние которых возрастает при усилении взаимодействия между отверстиями

$$\omega_k = (2\lambda_1 + 12\lambda_2) \beta_k - G \gamma_k$$

$$\alpha_k = (1 + 7\lambda_2 + x_k^{-2} + 2\lambda_2 x_k^2) K_1(x_k)$$

$$x_k = a_1 \sqrt{\kappa_k}, \quad \lambda_k = \mu_k / a_1^{2k} \quad (k = 1, 2)$$

Модуль продольного сдвига двухуровневой пористой среды в принятом приближении будет равен

$$\hat{G}_{12} = G_{12} [(1 - \zeta_1) A + \theta_0 + \omega_1 K_1(x_2) - \omega_2 K_1(x_1)] \{(1 + \zeta_1) A +$$

$$+ \theta_0 + \omega_1 K_1(x_2) - \omega_2 K_1(x_1) + \zeta_1^{1/2} [(\omega_2 + 6\alpha_2) K_1(y_1) - (\omega_1 + 6\alpha_1) K_1(y_2)]\}^{-1}$$

$$A = \beta_1(\alpha_2 - \gamma_2) - \beta_2(\alpha_1 - \gamma_1), \quad y_k = R_1 \sqrt{\kappa_k}$$

где R_1 — радиус окружности, ограничивающей площадь усреднения состояния на втором уровне.

Анализ состояний двухуровневой среды указывает на определяющее значение параметра $\eta = (v_2/v_1)^{1/2} = a_1/R$, v_2 и v_1 — объем неоднородностей соответственно на втором и первом масштабных уровнях, R — радиус окружности, ограничивающей площадь усреднения состояний на первом масштабном уровне. Локальные напряжения около отверстий первого масштабного уровня определяются разложениями (1.3). При объемном содержании $\zeta > 0,6$ формула (1.6) заменяется уточненной [5]:

$$G_{12} = G (1 + v_0) (1 - v_0)^{-1} [1 + n^2(n-1) v_0^2 \pi^{-n} \sin^n \alpha_n (1 - \zeta^{2n-4} v_0^2) (1 - v_0^2)^{-1}]$$

$$v_0 = \zeta (1 - G/G_a) (1 + G/G_a)^{-1}$$

где $\alpha_4 = \pi/2$, $n = 4$ — для тетрагональной, $\alpha_6 = \pi/3$, $n \approx 6$ — для гексагональной упаковок, $G_a = 0$ для полостей. Точность формулы (1.8) повышается с ростом p благодаря снижению взаимодействия включений. Эффективные сдвиговые характеристики композита при градиентных нагрузках оцениваются отношением G_{12}^p/G_{12} (фиг. 3). Здесь сплошные кривые 1—4 соответствуют значениям $p = 1—4$ и построены для пористой среды, штриховые — соответственно для композита с бесконечно-жесткими на сдвиг волокнами. Из поведения штриховых кривых видна малая эффективность данной схемы армирования при продольном градиентном сдвиге. При замене контура L окружностью в формуле (1.7), получаем приближенное значение параметра μ_p в явном виде

$$\mu_p \approx R^{2p} (G_{12}^p/G_{12}) [p! (p+1)!]^{-1}$$

Для фиксированных R параметр μ_p быстро убывает с ростом показателя градиентов сдвига p и соответственно можно снизить число учитываемых членов в уравнении (1.11).

Корни характеристического уравнения (1.16) с ростом p уточняются, но могут пробегать вещественные и комплексные значения. В рассматриваемом примере только минимальный корень, имеющий наиболее важное значение в решении задачи, всегда вещественен. Остальные корни могут быть комплексно-

сопряженными при $p = 3$ и становятся вещественными при $p = 4$ и так далее. Результаты расчетов изменения концентрации касательных напряжений на контуре отверстия на втором масштабном уровне при сохранении первых членов в решении уравнения (1.11) представлены на фиг. 4 штриховой кривой. Моментные напряжения снижают максимальные напряжения на несколько процентов, и этот эффект зависит от масштабного параметра η . Этот результат, в целом согласуется с выводами, полученными с помощью других моментных теорий [4], в которых эффективные упругие постоянные назначались произвольно и отсутствует учет фундаментального параметра η . Расчеты в принятом приближении зависимости поправок $\delta = \hat{G}_{12}/\bar{G}_{12}$ к эффективному модулю сдвига, рассматриваемой двухмасштабной пористой среды от параметра η представлены сплошной кривой на фиг. 4. Здесь \bar{G}_{12} — модуль сдвига среды без учета влияния моментных напряжений. Видно усиление влияния градиентов поля с уменьшением η , нижняя граница которого устанавливается областью применимости метода усреднения полей. Поэтому повышение эффективного модуля с учетом моментных состояний не превышает 10%. Несмотря на неудачи экспериментального определения постоянных моментных состояний отмеченный эффект, в принципе, может быть подтвержден и экспериментально.

Работа выполнена при финансовой поддержке Российского фонда фундаментальных исследований (код проекта 94-01-00523-а)

СПИСОК ЛИТЕРАТУРЫ

1. Cosserat E. F. Theorie des corps deformables. Paris: A. Hermann et Fils, 1909. 500 с.
2. Аэро Э. Л., Кувшинский Е. В. Основные уравнения теории упругости с вращательным взаимодействием частиц//ФТГ. 1960. Т. 2. Вып. 7. С. 1399—1409.
3. Пальцов В. А. Основные уравнения теории несимметричной упругости//ПММ. 1964. Т. 28. Вып. 3. С. 401—407.
4. Эринген А. К. Теория микрополярной упругости. В кн. Разрушение. Т. 2: М.: Мир, 1975. С. 646—751.
5. Ванин Г. А. Микромеханика композиционных материалов. Киев: Наук. думка, 1985. 302 с.
6. Миллер У. Симметрия и разделение переменных. М.: Мир, 1981. 342 с.

Москва

Поступила в редакцию
28.III.1994